

## تعیین محل عیب شعاعی در سیم پیج ترانسفورماتور قدرت با استفاده از آنتنهای فراپهنه باند و روش هذلولی

گنورگ قره پتیان	جواد ابراهیمی	مریم السادات اخوان حجازی
دانشگاه صنعتی امیرکبیر	دانشگاه صنعتی امیرکبیر	دانشگاه صنعتی امیرکبیر

واژه‌های کلیدی: امواج فرکانس بالا، آنالیز فرکانسی، خطوط انتقال، PLC, T-off

### ۱- مقدمه

مونیتورینگ برخط ترانسفورماتور از اهمیت بالایی برخوردار است، زیرا نه تنها از آسیب مستقیم به ترانسفورماتور و صدمات جانی پرسنل جلوگیری می‌کند بلکه از آسیبهای غیر مستقیم ناشی از قطع جریان انرژی و کاهش قابلیت اطمینان در سیستم قدرت جلوگیری می‌نماید [۱]. تاکنون برای انجام مونیتورینگ ترانسفورماتور به صورت در مدار روش‌های مختلفی پیشنهاد شده است که در زیر به معایب هر کدام اشاره می‌شود.

روش آزمایش اتصال کوتاه که نیاز به اندازه‌گیری راکتانس اتصال کوتاه دارد و می‌تواند همزمان با بهره برداری از ترانس انجام پذیرد اما هیچ اطلاعاتی از نوع و محل عیب در اختیار نمی‌گذارد [۲].

روش تحلیل پاسخ فرکانسی با خروج سمت فشار ضعیف ترانس از مدار با وجود آنکه از این روش در مقالات به عنوان حالت در مدار نام برده شده [۳ و ۴] ولی تنها سمت

### چکیده

ترانسفورماتورهای قدرت یکی از گرانترین اجزاء سیستم قدرت محسوب می‌شود. تشخیص به موقع خطاها به وجود آمده در ترانس می‌تواند از خروج ناخواسته ترانس و تحمیل هزینه‌های تعمیر و خاموشی جلوگیری نماید. روش‌های مونیتورینگ برخط نسبت به روش‌های دوره‌ای مزیت‌های فراوانی دارند. در این مقاله، از آتنهای فراپهنه باند از نوع وبوالدى که برای اندازه‌گیری در محیط‌های دارای چند مسیری مناسب‌بند استفاده شده است و تحلیلهای در حوزه زمان انجام می‌شود. پالسهای باریک ایجاد شده توسط فرستنده سیستم رادار UWB با استفاده از آتنهای فراپهنه باند به سمت ترانس تابانده شده و بازتاب آن ذخیره می‌شود. برای افزایش کیفیت تشخیص عیب، از روش تعدد آتن برای تشخیص محل عیب استفاده شده است. با استفاده از روش هذلولی محل دقیق عیب شعاعی تعیین شد. دقت این روش با آزمایش‌های انجام شده بر روی سیم پیج مدل تحقیق شد.

## بیست و ششمین کنفرانس بین‌المللی برق

در این روش امواج الکترومغناطیسی توسط یک آنتن به سیم پیچ ترانس تابانده شده و امواج برگشتی از آن توسط همان آنتن دریافت می‌شود و این نتایج (پارامترهای پراکندگی) برای حالات سالم و معیوب در بانک اطلاعاتی ذخیره می‌شوند. سپس با مقایسه حالات سالم و معیوب می‌توان به ایجاد تغییر در سیم پیچی پی برد.

در ترانس به علت اینکه با یک سیستم ساکن سروکار داریم، در صورتی که بتوان اثر محیط انتشار موج را ثابت در نظر گرفت و یا رفتار آنرا پیش‌بینی نمود، می‌توان ادعا کرد که تغییر دامنه و فاز امواج برگشتی تنها تابع تغییر شکل در سیم پیچهای ترانسفورماتور خواهد بود<sup>[۸]</sup> و<sup>[۹]</sup>.

برای رسیدن به یک راهکار عملی تر در تشخیص نوع و محل عیب، از آنتن‌های UWB برای ارسال و دریافت پالس استفاده شد. می‌توان در حوزه زمان از امواجی با پهنای باند بسیار بالا که دارای رزولوشن فضایی بالایی باشند استفاده نمود. هر چه قدر امواجی که مورد استفاده قرار می‌گیرند دارای رزولوشن فضایی کوچکتر باشند، می‌توان تغییرات بیشتری را در حوزه زمان مورد بررسی قرار داد. تحلیل سیگنال‌های برگشتی در حوزه زمان انجام شد.

### ۳- مفهوم سیستم‌های UWB

با توجه به استانداردهای وضع شده سیستم‌های UWB به سیستم‌هایی گفته می‌شود که پهنای باند نسبی به کار گرفته شده در آن‌ها بیشتر از یک چهارم باشد یا پهنای باند آن‌ها بیشتر از ۵۰۰ مگاهرتز باشد (شکل ۱)

پهنای باند نسبی توسط رابطه زیر تعریف می‌شود:

$$\frac{f_H - f_L}{f_H + f_L} \quad (1)$$

فشار قوی در مدار باقی مانده و سمت فشار ضعیف ترانس از مدار خارج می‌شود. جهت مونیتورینگ ترانسفورماتور در این حالت ترانس از سمت فشار قوی به وسیله کلید قدرت قطع و وصل می‌شود.

روش تحلیل پاسخ فرکانسی با استفاده از اضافه ولتاژهای گذرا ناشی از عملیات کلیدزنی یا برخورد صاعقه، اما این روش نیاز به تحقیق بر روی بسیاری فاکتورهای تأثیرگذار دیگر از قبیل برقگیرها، ساختارهای مختلف شبکه قدرت و ... را دارد و در صورت اتفاق نیفتادن حالت گذرا در زمان نیاز به مونیتورینگ، این عمل با وقفه روبرو می‌شود و زمان‌بندی مونیتورینگ در اختیار کاربر نخواهد بود<sup>[۵]</sup>. این روش در فاز تحقیقاتی است و هنوز برای هیچ ترانسفورماتوری به کار گرفته نشده است.

### ۲- کاربرد امواج الکترومغناطیسی برای تشخیص تغییر شکل و جابجایی سیم پیچ ترانسفورماتور

در میان روش‌های تشخیص جابجایی سیم پیچ ترانسفورماتور، روشی که بتواند به صورت برخط به کار رود از اهمیت خاصی برخوردار است. هدف از این تحقیق توسعه روش جدیدی است که بتواند در کنار روش‌های قلی تابع تبدیل برای تشخیص عیب استفاده شود. در سیستمهای مونیتورینگ جدید از انواع مختلف سنسور برای ثبت یک واقعیت استفاده می‌شود. در این سیستمهای بر پایه همچو شی اطلاعات ۱ سنسورهای مختلف، وضعیت سیستم ارزیابی می‌شود<sup>[۶]</sup>. پیشنهاد استفاده از امواج الکترومغناطیسی برای تشخیص عیب سیم پیچی برای اولین بار در [۷] مطرح شده است.

روش الکترومغناطیسی ابتدا بر پایه استفاده از آنتن‌های UHF برای ارسال و دریافت سیگنال و تحلیل سیگنال‌های برگشتی در حوزه فرکانس توسعه داده شد.

<sup>۱</sup> Information fusion

## بیست و ششمین کنفرانس بین‌المللی برق

امکان تشخیص نوع هدف، به این دلیل که سیگنال دریافتی حامل اطلاعاتی از اجزای مختلف هدف علاوه بر اطلاعات کلی هدف می‌باشد.

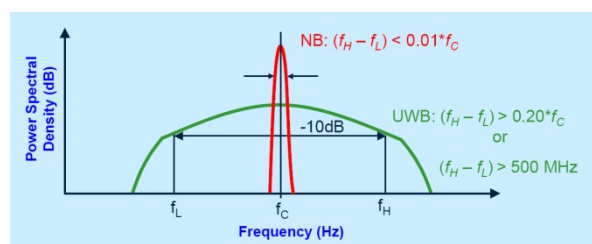
افزایش پایداری مشاهده هدف به دلیل اینکه سیگنال بازگشتی از خود هدف و موانع دیگر، در فاصله‌های زمانی متفاوت به گیرنده رسیده و قابلیت جداسازی آنها بالا می‌رود.

- بالا رفتن احتمال تشخیص هدف
- الگوی باریک برای آنتن‌ها
- بهبود مصنونیت رادار در برابر سیگنال‌های پهنهای باند باریک و نویز
- کاهش «منطقه مرده» برای رادار

### ۴- استفاده از رادار UWB برای تشخیص عیوب سیم پیچ ترانسفورماتور

این روش ، امکان تشخیص عیوب مکانیکی ترانس را به صورت برخط و توسط یک دستگاه فرستنده و گیرنده امواج UWB فراهم می‌سازد. در این روش یک پالس UWB به طرف سیم پیچ ترانسفورماتور ارسال می‌شود. سیگنال داخل محیط (روغن ترانسفورماتور) منتشر شده و به هدف (سیم پیچ) برخورد می‌نماید. بخشی از انرژی از سیم پیچ بازتاب نموده که توسط دستگاه گیرنده دریافت، ذخیره و به کامپیوتر ارسال می‌گردد. با تجزیه و تحلیل امواج دریافتی تغییر شکل هندسی سیم پیچ ترانسفورماتور تشخیص داده می‌شود[۱۲، ۱۳، ۱۴ و ۱۵]. شکل ۲ کلیات روش مونیتورینگ با استفاده از سنسور UWB را نشان می‌دهد.

در رابطه فوق  $f_H$  فرکانس قطع  $-10dB$  بالای و  $f_L$  فرکانس قطع  $-10dB$  پایینی است. علت استفاده از عدد  $-20dB$  به جای مقدار  $-10dB$  پایین بودن سطح توان سیستم‌های UWB و نزدیک بودن آنها به سطح نویز است که سبب می‌شود اندازه‌گیری فرکانس قطع  $-20dB$  بسیار مشکل شود [۱۰].



شکل ۱: پهنهای باند نسیم سیستم‌های باند باریک و باند پهنهای

سیستم‌های فراپهن باند<sup>۱</sup> (UWB) در سال‌های اخیر توجه زیادی را به خود جلب کرده‌اند. اگرچه از UWB به عنوان یک تکنولوژی جدید در مخابرات بی‌سیم یاد می‌شود، اما دارای ساقه‌ای طولانی است. سیستم‌های UWB مشابه سیستم‌های طیف گسترده در ابتدا در خدمت کاربردهای نظامی و رادار بودند. تا این که در فوریه سال ۲۰۰۲ ، کمیسیون فدرال مخابرات (FCC)<sup>۲</sup> در اولین گزارش خود در مورد سیستم‌های UWB استفاده تجاری از این تکنولوژی را برای محیط‌های خانگی و غیر خانگی مشروط به اعمال بعضی محدودیت‌های طیفی مجاز اعلام کرد [۸۷]. سیستم‌های UWB از پالس‌هایی با دقت زمانی بالا و پهنهای زمانی کم، که در حوزه فرکانس گسترده شده‌اند استفاده می‌کنند. کاهش طول سیگنال در رادارهای UWB به ما توانایی‌های زیر را می‌دهد[۱۱]:

<sup>1</sup> Ultra Wideband

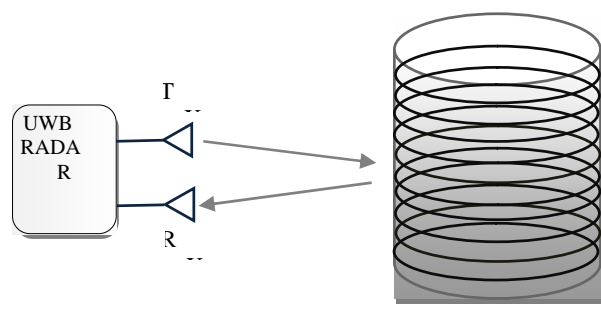
<sup>2</sup> Federal Commission of Communication

## بیست و ششمین کنفرانس بین‌المللی برق

همانطورکه در شکل ۳ نشان داده شده است این مدل از ۵ دیسک با لایه‌ای از مس تشکیل شده است. ابعاد مدل در جدول ۱ آمده است.

جدول ۱: مساحت شیارهای ایجاد شده بر روی شیشه ساز

مدل سیم پیچ	پارامتر
۵	تعداد دیسک اصلی
۵	تعداد دیسک فاصله‌انداز
۳۰cm	قطر دیسک اصلی
۳۰cm	قطر دیسک فاصله‌انداز
۲cm	ضخامت دیسک اصلی
۰.۵cm	ضخامت دیسک فاصله‌انداز

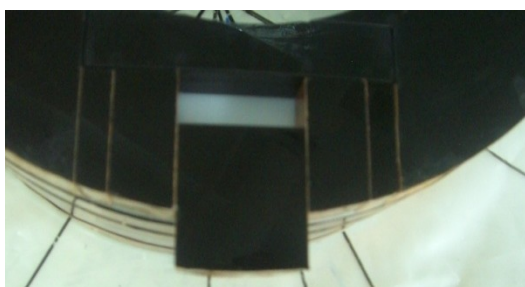


شکل ۲: کلیات روش مونیتورینگ با استفاده از سنسور UWB

برای مدل کردن تغییر شکل شعاعی، همانند مدل قبلی، قطاعهایی با پهنای ۱، ۰.۵، ۲ و ۴ سانتی‌متر بر روی یکی از دیسک‌ها ایجاد شده است. در این مدل قطاع‌ها قابلیت حرکت در بازه ۲.۵-۲.۵ سانتی‌متر تا ۲.۵+ سانتی‌متر را دارا می‌باشند.



(الف)



(ب)

شکل ۳: مدل سیم پیچ دو ترانس ب : نمای بالایی از قطاع‌های مدل

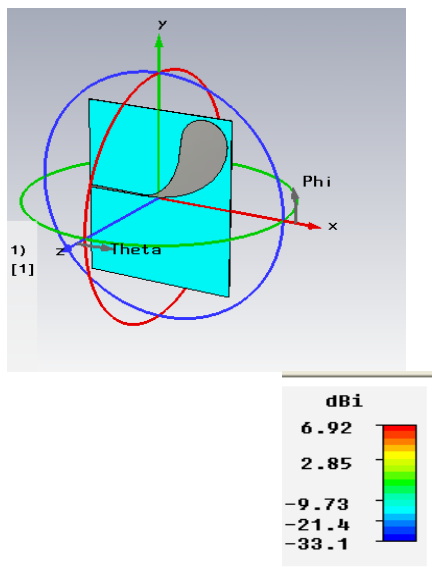
سیم پیچ دو

## ۵- معرفی مدل سیم پیچ ترانسفورماتور

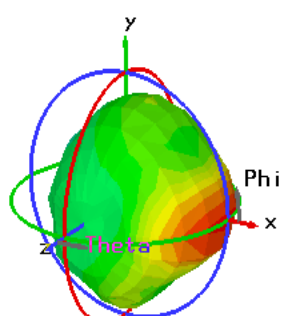
برای آزمایش ایده مطرح شده به جای ترانس واقعی از مدل استفاده می‌شود. علت این امر، به غیر از بحث هزینه، تکرارپذیری آزمایشها و تنوع تغییر شکلهای ایجاد شده است. در حالیکه در صورت ایجاد تغییر شکل مکانیکی در ترانس واقعی، آزمایش قابل تکرار نیست و میزان تغییر شکل نیز قابل تغییر نمی‌باشد. ساخت نمونه‌های آزمایشگاهی در ابعاد ترانسفورماتور واقعی بسیار پرهزینه بوده و عملاً امکانپذیر نمی‌باشد. قطعاً با توجه به پیچیدگی‌های ترانسفورماتور و ابعاد آن، مدل طراحی شده بسیار ساده‌تر، در ابعاد کوچک‌تر و به صورت تک فاز ساخته شده است. برای ساختن مدل مهمنترین نکته سبکی و داشتن جنس مشابه با سیم پیچ ترانسفورماتور واقعی می‌باشد. همچنین باید از جنس‌هایی که به سهولت قابل شکل دهی باشند استفاده شود. به همین دلیل بهترین انتخاب پلکسی‌گلاس است که با لایه‌ای از مس پوشیده شده است. پلکسی‌گلاس به راحتی قابل شکل دهی می‌باشد و ساخت مدل از آن ساده‌تر است. از طرفی استحکام لازم برای این کار را دارد.

## بیست و ششمین کنفرانس بین‌المللی برق

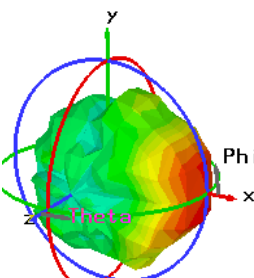
مشخصه پtern آنتن ویوالدی برای فرکانس‌های ۳ و ۶ گیگاهرتز در شکل ۵ آورده شده است. لازم به ذکر است با توجه به زاویه‌های تعریف شده در روی شکل، پtern مورد نظر بدست آمده است.



الف



ب



ج

شکل ۵: توزیع میدان در اطراف آنتن (الف) نحوه قرارگیری آنتن در مختصات سه بعدی. ب) فرکانس ۳ گیگا هرتز. ج) فرکانس ۶ گیگا هرتز

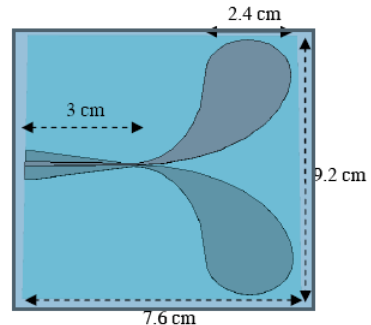
با توجه به شکل ۳-ب که نمایی از بالای مدل سیم پیچ ترانسفورماتور است، مشخص است که شیارهای ایجاد شده عمود بر قطر دیسک می‌باشند. بنابراین برای مدل کردن تغییر شکل شعاعی قطاعها مستقیماً به سمت بیرون کشیده می‌شوند.

### ۵- آنتن ویوالدی

یکی از آنتن‌های مناسب برای کاربردهای UWB آنتن ویوالدی می‌باشد [۱۶]. با توجه به اینکه در بحث اندازه‌گیری جابجایی سیم پیچ ترانسفورماتور نیاز به پtern باریک (برای جلو گیری از اثرات ناشی از محیط اطراف) با گین بالا می‌باشد از آنتن‌های ویوالدی استفاده شده است. فرکانس کار آنتن‌های استفاده شده بین ۳ تا ۱۰ گیگا هرتز می‌باشد ولی چون از دستگاه PulsON برای انجام آزمایش‌ها استفاده شده است، از آنتن مذکور در فرکانس ۳.۲ تا ۶.۱ گیگا هرتز استفاده می‌شود. ساختار و ابعاد آنتن استفاده شده به صورت شکل ۴ می‌باشد.



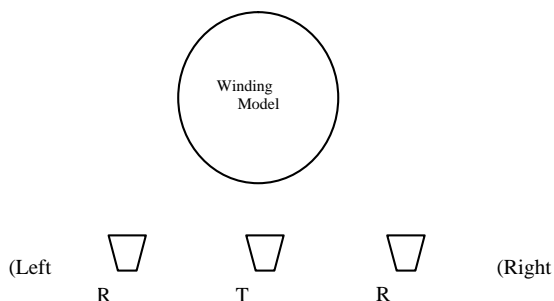
الف



ب

شکل ۴: (الف) آنتن ویوالدی ساخته شده ب) ابعاد آنتن

## بیست و ششمین کنفرانس بین‌المللی برق



شکل ۷: نحوه قرارگیری آنتن‌های فرستنده و گیرنده و مدل سیم پیچ ترانس

اگر یک عیب در سیم پیچ ترانس رخ دهد، دو آنتن گیرنده با فواصل زمانی متفاوت ( $t_1$  و  $t_2$ ) عیب را می‌بینند. می‌توان از این ویژگی استفاده کرد و مکان وقوع عیب را تشخیص داد. با داشتن سرعت انتشار سیگنال‌ها که همان سرعت نور است می‌توان اختلاف زمانی سیگنال‌های دریافتی را به اختلاف فاصله تبدیل کرد. یعنی عیب از دید آنتن گیرنده اول در فاصله  $x_1$  از آنتن گیرنده اول و از دید آنتن گیرنده دوم در فاصله  $x_2$  از آنتن گیرنده دوم قرار دارد. اندازه  $x_1$  و  $x_2$  رابطه زیر بدست می‌آیند.

$$\begin{aligned}x_1 &= t_1 \times C \\x_2 &= t_2 \times C\end{aligned}$$

(۲)

که  $C$  سرعت نور و برابر  $3 \times 10^8 \text{ m/s}$  می‌باشد. بنابراین با داشتن  $t_1$  و  $t_2$  می‌توان فاصله عیب از دو آنتن گیرنده را بدست آورد. نحوه بدست آوردن  $t_1$  و  $t_2$  در ادامه بیان شده است.

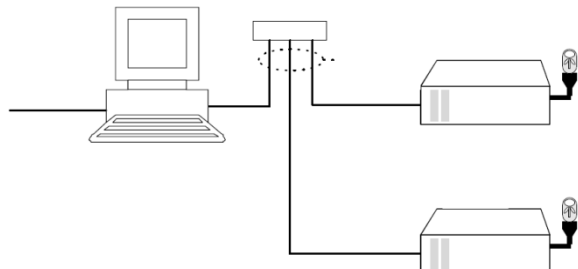
اختلاف فاصله بدست آمده از دید آنتن‌های گیرنده است که ثابت هستند. بنابراین برای یک عیب که در یک مکان معینی اتفاق افتاده، اختلاف فاصله از دو نقطه ثابت (آنتن‌های گیرنده) بدست می‌آید. مکان هندسی نقاطی که اختلاف فاصله آنها از دو نقطه ثابت مقدار ثابتی باشد یک هذلولی است که کانون‌های آن آنتن‌های گیرنده هستند. معادله هذلولی موردنظر را می‌توان بدست آورد. اگر مرکز تقارن هذلولی

## ۷- فرستنده و گیرنده موجهای فراپهن باند و نحوه انجام اندازه‌گیری با آنها

آزمایش‌های که در حوزه زمان انجام شده است به کمک فرستنده و گیرنده موجهای فراپهن باند انجام شده است.

برای انجام آزمایش‌ها می‌توان از اندازه گیری حوزه زمان نتورک آنالیزر یا دستگاه PulsON استفاده نمود.

برای انجام اندازه گیریها از یک فرستنده-گیرنده با آرایش بای استاتیک استفاده شده است. فرستنده و گیرنده از طریق یک هاب به رایانه متصل شده‌اند. شکل ۶ دیاگرام اتصال ستاپ اندازه‌گیری را نشان می‌دهد.



شکل ۶: دیاگرام اتصال ستاپ اندازه‌گیری

## ۸- الگوریتم تعیین دقیق محل عیب شعاعی با استفاده از روش هذلولی

در این مقاله هدف این است که با تحلیل سیگنال‌های دریافتی بتوان مکان دقیق عیب تغییر شکل شعاعی ایجاد شده در مدل سیم پیچ ترانس را بدست آورد. روشی که برای تشخیص دقیق مکان عیب تغییر شکل شعاعی استفاده شده است بر مبنای مکان هندسی اشکال در فضا است. در یک صفحه مکان هندسی نقاطی که اختلاف فاصله آنها از دو نقطه ثابت مقدار ثابتی باشد هذلولی نام دارد که آن دو نقطه ثابت کانون‌های آن هذلولی می‌باشند. در چیدمان موردنظر برای انجام آزمایشها از یک آنتن فرستنده و دو آنتن گیرنده استفاده شده است (شکل ۷).

## بیست و ششمین کنفرانس بین‌المللی برق

گفته شد که برای بدست آوردن هذلولی مربوط به یک عیب، نیاز به اختلاف فاصله از آتنن‌های گیرنده است. نحوه بدست آوردن اختلاف فاصله به صورت زیر است:

ابتدا در حالت سالم مدل سیم پیچ ترانس آتنن فرستنده سیگنال ارسالی را منتشر می‌کند و توسط دو آتنن گیرنده دریافت می‌شود. سپس یک عیب مشخص در سیم پیچ ترانس رخ می‌دهد. سیگنال‌های دریافتی توسط آتنن‌های گیرنده در این حالت نیز ذخیره می‌شوند. با توجه به فاصله عیب از آتنن گیرنده زمان وقوع اختلاف بین سیگنال‌های عیب و حالت سالم مدل سیم پیچ ترانس متفاوت خواهد بود.

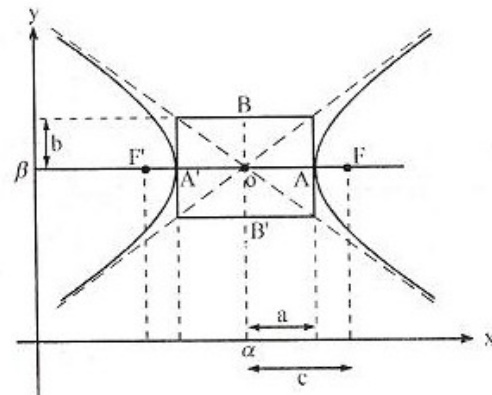
می‌توان از اختلاف سیگنال‌های عیب و حالت سالم سیم پیچ ترانس برای بدست آوردن زمان وقوع تغییرات در سیگنال‌های دریافتی استفاده نمود. چون فاصله آتنن‌های گیرنده نسبت به مکان وقوع عیب متفاوت می‌باشد، زمان وقوع تغییرات در سیگنال‌های دریافتی دو آتنن گیرنده یکسان نمی‌باشد. اختلاف زمان وقوع تغییرات از دید دو آتنن گیرنده برای یک عیب مشخص یک عدد ثابت است. می‌توان این اختلاف زمانی را با ضرب در سرعت انتشار سیگنال که سرعت نور است به اختلاف مکانی تبدیل کرد. بنابراین می‌توان گفت که عیب در مکانی است که اختلاف مکانی آن نسبت به آتنن‌های گیرنده (دو نقطه ثابت) عدد ثابتی است. پس عیب روی یک هذلولی قرار دارد که کانون‌های آن آتنن‌های گیرنده هستند و اختلاف فاصله آن از کانون‌های آن برابر اختلاف مکانی بدست آمده می‌باشد. از طرفی عیب روی مدل سیم پیچ ترانس قرار دارد، یعنی روی یک دایره به مرکز سیم پیچ ترانس است. بنابراین می‌توان از تقاطع هذلولی بدست آمده با دایره موجود مکان دقیق وقوع عیب سیم پیچ ترانس را بدست آورد.

با توجه به چیدمان شکل ۸ اگر مبدا مختصات آتنن فرستنده درنظر گرفته شود، معادله دایره مربوط به مدل سیم پیچ ترانس را به صورت زیر نوشت:

$O(\alpha, \beta)$  باشد و هذلولی افقی باشد معادله‌ی آن به صورت زیر می‌باشد:

$$\frac{(x-\alpha)^2}{a^2} - \frac{(y-\beta)^2}{b^2} = 1 \quad (3)$$

شکل زیر هذلولی مورد نظر را نشان می‌دهد. نقاط F و F' کانون‌های هذلولی هستند و  $a^2 + b^2 = c^2$  می‌باشد. اختلاف فاصله یک نقطه روی هذلولی از دو کانون آن (F و F') برابر  $2a$  می‌باشد.



شکل ۸: هذلولی افقی

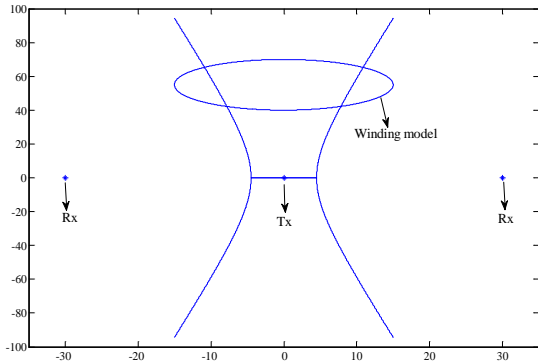
بنابراین متناسب با یک عیب تغییرشکل شعاعی می‌توان یک هذلولی درنظر گرفت که عیب موردنظر روی یک نقطه از آن قرار گرفته است. همچنین در یک صفحه، سیم پیچ ترانس را می‌توان با یک دایره درنظر گرفت. معادله دایره نیز به صورت زیر می‌باشد.

$$(x - x_0)^2 + (y - y_0)^2 = r^2 \quad (4)$$

که  $r$  شعاع دایره مدل سیم پیچ ترانس و  $(x_0, y_0)$  مرکز آن می‌باشد. عیب تغییرشکل شعاعی نیز روی این دایره قرار دارد. بنابراین نقطه تقاطع هذلولی بدست آمده با دایره ترانس، محل وقوع عیب تغییرشکل شعاعی می‌باشد.

## بیست و ششمین کنفرانس بین‌المللی برق

باید توجه شود که مبدأ مختصات مکان آتنن فرستنده می‌باشد. با قرار دادن  $y$  در یکی از معادلات فوق مقدار  $x$  نیز بدست می‌آید. شکل ۹ آتنن فرستنده، آتنن‌های گیرنده و مدل سیم پیچ ترانس را به همراه دایره و هذلولی بدست آمده نشان می‌دهد. هذلولی بدست آمده با مدل سیم پیچ ترانس در چهار نقطه تقاطع دارد که دو نقطه که در سمت آتنن‌ها قرار دارند نقاط قابل قبول می‌باشد. با توجه به این که آتنن سمت راست یا سمت چپ زودتر اختلاف سیگنال مربوط به عیب را می‌بیند، یک نقطه قابل قبول بدست می‌آید.



شکل ۹: نحوه قرار گیری چیدمان آزمایش و هذلولی بدست آمده

**۹-آزمایش تشخیص دقیق عیب شعاعی به روش هذلولی**  
در این بخش، روش پیشنهادی برای تشخیص محلهای مختلف عیب تغییر شکل شعاعی آزمایش شده است. برای انجام آزمایشها ابتدا مدل سیم پیچ ترانس در حالت سالم یعنی بدون بیرون‌زدگی قطاع قرار دارد. در این حالت ارسال و دریافت سیگنال‌های ارسالی توسط آتنن فرستنده و گیرنده و دستگاه PulsOn انجام می‌شود. مشخصات سیگنال ارسالی و نحوه پیش پردازش در مرجع [۱۷] آمده است. سپس قطاع ایجاد شده بر روی دیسک که ابعاد آن  $2\pi \times 2$  سانتی‌متر مربع است بیرون کشیده می‌شود و ارسال و دریافت سیگنال‌ها انجام می‌شود.

$$x^2 + (y - L)^2 = r^2 \quad (5)$$

که  $L$  فاصله مرکز مدل سیم پیچ ترانس از آتنن فرستنده است که با اندازه گیری بدست می‌آید. همچنین  $r$  شعاع دیسک های مدل سیم پیچ ترانس است که اندازه آن مشخص است. بر مبنای همین مبدأ مختصات، معادله هذلولی را می‌توان به صورت زیر بیان کرد:

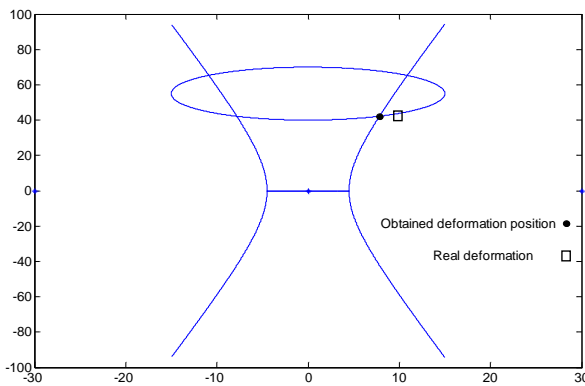
$$\frac{x^2}{a^2} - \frac{y^2}{b^2} = 1 \quad (6)$$

برای رسم هذلولی به پارامترهای  $a$  و  $b$  نیاز داریم. اختلاف فاصله یک نقطه روی هذلولی از دو کانون آن (آتنن‌های گیرنده) برابر  $2a$  می‌باشد. بنابراین با داشتن اختلاف فاصله  $a$  عیب موردنظر می‌توان مقدار  $a$  را بدست آورد. مقدار  $c$  برابر نصف اختلاف فاصله می‌باشد. با توجه به شکل ۲،  $c$  برابر فاصله کانون (آتنن گیرنده) از مرکز هذلولی (آتنن فرستنده) می‌باشد. بنابراین پارامتر  $c$  نیز با اندازه گیری فاصله آتنن فرستنده و گیرنده بدست می‌آید. با مشخص بودن  $b^2 = c^2 - a^2$  و  $c$  اندازه پارامتر  $b$  با استفاده از رابطه  $b = \sqrt{c^2 - a^2}$  بدست می‌آید. بنابراین می‌توان هذلولی مذکور را رسم کرد. با حل معادلات زیر که از روابط (۴) و (۵) بدست آمده نقطه تقاطع دایره و هذلولی بدست می‌آید.

$$\begin{cases} x^2 + (y - L)^2 - r^2 = 0 \\ \frac{x^2}{a^2} - \frac{y^2}{b^2} - 1 = 0 \end{cases} \quad (7)$$

با حل معادله فوق مقدار  $y$  به صورت زیر بدست می‌آید. مقدار بدست آمده برابر مکان عیب در راستای محور  $y$  می‌باشد.

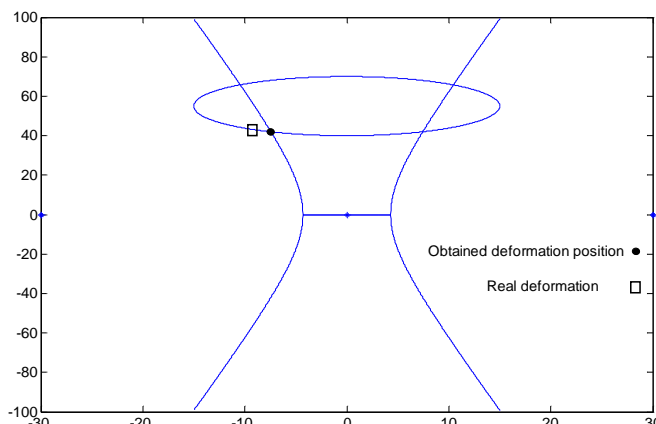
$$y = \frac{-L \pm \sqrt{L^2 - \left(\frac{a^2}{b^2} - 1\right)(r^2 - L^2 - a^2)}}{\left(\frac{a^2}{b^2} - 1\right)} \quad (8)$$



شکل ۱۱: قرار گیری هذلولی بدست آمده نسبت به چیدمان آزمایش

**ب) محل تغییر شکل شعاعی در ناحیه سمت چپ**

در این چیدمان بیرون زدگی در ناحیه سمت چپ (L) است. در این حالت اختلاف زمان شروع تغییرات در سیگنال‌های دریافتی دو آنتن گیرنده برابر  $3.3 \text{ نانو ثانیه}$  می‌باشد. بنابراین اختلاف مکانی برابر  $9.9 \text{ سانتیمتر}$  می‌شود. با توجه به این اختلاف مکانی شکل هذلولی به صورت زیر می‌شود.

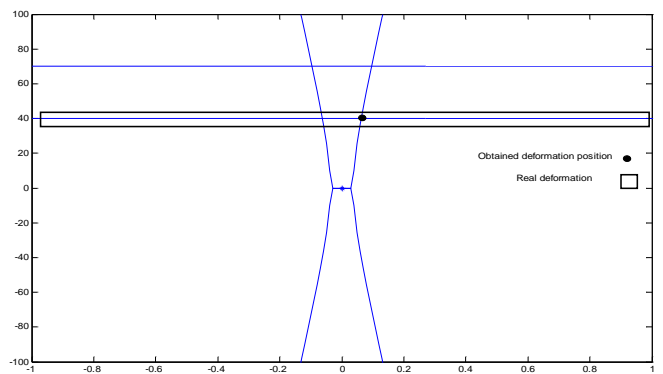


شکل ۱۲: قرار گیری هذلولی بدست آمده نسبت به چیدمان آزمایش

با توجه به شکل مشاهده می‌شود که محل تقاطع هذلولی و دایره یعنی محل وقوع عیب در  $8.7 \text{ سانتیمتر}$  از مرکز مدل سیم پیچ می‌باشد. بنابراین با دقت بالایی مکان عیب درست تشخیص داده شده است.

**الف ) محل تغییر شکل شعاعی در ناحیه وسط**

در این چیدمان محل عیب تغییر شکل شعاعی در ناحیه وسط مدل سیم پیچ ترانس قرار دارد. در این حالت اختلاف زمان شروع تغییرات در سیگنال‌های دریافتی دو آنتن گیرنده برابر  $0.25 \text{ نانو ثانیه}$  می‌باشد. بنابراین اختلاف مکانی برابر  $0.76 \text{ میلیمتر}$  می‌شود. با توجه به این اختلاف مکانی بسیار کوچک شکل هذلولی به صورت زیر می‌شود.



شکل ۱۰: قرار گیری هذلولی بدست آمده نسبت به چیدمان آزمایش

با توجه به شکل مشاهده می‌شود که محل تقاطع هذلولی و دایره یعنی محل وقوع عیب در  $0.15 \text{ سانتیمتر}$  از مرکز مدل سیم پیچ می‌باشد. با توجه به این که عیب در مرکز قرار داشته و اندازه خود عیوب نیز  $2 \text{ سانتیمتر}$  بوده است.

**ب ) محل تغییر شکل شعاعی در ناحیه سمت راست**

در این چیدمان بیرون زدگی قطاع در ناحیه سمت راست (R) است. قابل ذکر است که مکان آنتن‌ها هیچ تغییری نسبت به قبل نکرده است. در این حالت اختلاف زمان شروع تغییرات در سیگنال‌های دریافتی دو آنتن گیرنده برابر  $2.7 \text{ نانو ثانیه}$  می‌باشد. بنابراین اختلاف مکانی برابر  $8.1 \text{ سانتیمتر}$  می‌شود. با توجه به این اختلاف مکانی شکل هذلولی به صورت زیر می‌شود. با توجه به شکل، محل تقاطع هذلولی و دایره یعنی محل وقوع عیب در  $7 \text{ سانتیمتر}$  از مرکز مدل سیم پیچ می‌باشد.

## بیست و ششمین کنفرانس بین‌المللی برق

- [۷] م. اخوان حجازی، "تشخیص جابجایی و تغییر شکل سیمپیچی ترانس قدرت بوسیله امواج الکترومغناطیسی" پایان‌نامه کارشناسی ارشد ، دانشکده مهندسی برق، دانشگاه صنعتی امیرکبیر، شهریور ۱۳۸۵ ،تهران، ایران
- [۸] م. اخوان حجازی، گ. قره‌پیان، ع. محمدی "اثر روش بر مانیتورینگ سیم پیچ ترانسفورماتور به کمک امواج الکترومغناطیسی" PSC2006 ، آبان ماه ۱۳۸۵ ،تهران ، ایران
- [۹] م. اخوان حجازی، گ. قره‌پیان ، ع. محمدی "ارائه یک روش نوین جهت تشخیص جابجایی محوری سیم پیچ ترانسفورماتور به کمک امواج الکترومغناطیسی" PSC2006 ، آبان ماه ۱۳۸۵ ، تهران ، ایران.

- [10] FCC, "Revision of part 15 of the commission's Rules Regarding Ultra-Wideband Transmission" First Report & order, Et Pocket 98-153, FCC 02-8, Adopted/Released Feb/Apr. 2002.
- [11] I. J. Immoreev, "Main Possibilities and Main Features of Ultra-Wideband (UWB) Radars", Moscow Aviation Institute
- [12] G. Mokhtari, G. B. Gharehpetian, R. Faraji-dana, M. A. Hejazi, "On-line Monitoring of Transformer Winding Axial Displacement Using UWB Sensors and Neural Network", International Review of Electrical Engineering (IREE), Vol. 5, No. 5, October 2010 (ISI-ranked)
- [13] M. A. Hejazi, J. Ebrahimi, G. B. Gharehpetian, R. Faraji-Dana and M. Dabir, "Feasibility Studies on On-line Monitoring of Transformer Winding Mechanical Damage Using UWB Sensors", XIX International Conference on Electrical Machines, ICEM 2010, September 6-8, 2010, Rome, Italy
- [14] G. Mokhtari, M. A. Hejazi and G. B. Gharehpetian, "Simulation of On-line Monitoring of Transformer Winding Axial Displacement Using UWB Waves", XIX International Conference on Electrical Machines, ICEM 2010, September 6-8, 2010, Rome, Italy
- [15] J. Ebrahimi, G. B. Gharehpetian, H. Amindavar and M. A. Hejazi, "Antennas Positioning for On-line Monitoring of Transformer Winding Radial Deformation Using UWB Sensors", 3rd International Power and Energy Conference (PECon), Nov. 29- Dec. 1, 2010, Kuala Lumpur, Malaysia
- [16] Mehdipour, K. Mohammadpour- Aghdam, R. Faraji-Dana, "Complete Dispersion Analysis of Vivaldi Antenna for Ultra Wide Band," Progress In Electromagnetic Research, PIER 77, 85-96, 2007.

- [۱۷] جواد ابراهیمی، گنورک قره‌پیان، حمیدرضا امین داور، مریم السادات اخوان حجازی "کاربرد تبدیل ویولت گسسته برای تشخیص برخط تغییر شکل شعاعی سیم پیچ ترانسفورماتور با توجه به اندازه‌گیری‌های انجام شده توسط سنسورهای فرآیند باند" PSC 2010 تهران، ایران

### ۱۰- نتیجه‌گیری

در این مقاله روش جدیدی به صورت تحلیلی برای تشخیص محل عیب شعاعی سیم پیچ ترانس با استفاده از آنتن‌های فرآیند باند ارائه شده است. در این روش از یک آنتن فرستنده و دو آنتن گیرنده استفاده شد. با استفاده از اختلاف زمان دریافت پالسها محل دقیق عیب تعیین می‌شود. نتایج اندازه‌گیری صحت الگوریتم را تأیید می‌نمایند.

### تقدیر و تشکر

مولفین مقاله از حمایت پژوهش حاضر تحت قرارداد شماره ۸۷/۴ مورخ ۱۲/۲۴ توسط شرکت برق منطقه‌ای تهران تشکر می‌نمایند.

### مراجع

- [1] S Tenbohlen et al.: "Experience-Based Evaluation of Benefits of On-line Monitoring Systems for Power Transformers", CIGRE Session 2002, paper 12-110, Paris, 2002.
- [2] JChristian and KFeser, "Procedures for Detecting Winding Displacements in Power Transformers by the Transfer Function Method," IEEE Transaction on Power Delivery, Vol.19, No.1, pp.214-220, Jan. 2004.
- [3] T. Leibfried and K. Feser, "Monitoring of power transformers using the transfer function method," IEEE Trans. Power Delivery, Vol. 14, pp.1333-1341, August 2002
- [4] T.Leibfried and K.Feser , , Off-line and On-line Monitoring of Power Transformers using the Transfer Function Method ,IEEE International Symposium on Electrical Insulation ,Montreal ,Quebec ,Canada , June 16-19 ,1996 ,pp.34-111
- [5] T. Leibfried and K. Feser, "On-line monitoring of transformers by means of the transfer function method," IEEE Int. Symp. on Electrical Insulation, June 5-8, Pittsburgh, PA USA, 1994.
- [6] Feng LV, Hai-lian DU , Hao Sun , Zhan-feng Wang, Yuan Li "Power Transformer Fault Diagnosis Based on Data Fusion" Proceedings of the 17th World Congress The International Federation of Automatic Control Seoul, Korea, July 6-11, 2008

This document was created with Win2PDF available at <http://www.daneprairie.com>.  
The unregistered version of Win2PDF is for evaluation or non-commercial use only.